

За опорную систему координат примем трехгранник  $\xi\eta\zeta$ , связанный с корпусом прибора. В общем случае трехгранник  $\xi\eta\zeta$  вращается в пространстве с угловой скоростью  $\bar{\omega}^{\text{нр}}$ , проекции которой на оси трехгранника есть  $\omega_\xi$ ,  $\omega_\eta$ ,  $\omega_\zeta$  (рис. 1.2). Связем с кольцом трехгранник  $x_1y_1z_1$  так, чтобы оси  $x_1$  и  $y_1$  были направлены по осям соответственно наружных и внутренних торсионов. Положение кольца и связанного с ним трехгранника  $x_1y_1z_1$  относительно опорного зададим углами  $\varphi$  и  $\alpha$ , определяющими последовательные повороты кольца вокруг осей  $\zeta$  и  $y_1$ . С ротором ДНГ связем трехгранник  $x'y'z'$  так (рис. 1.3), чтобы ось  $x'$  была направлена по оси наружных торсионов, а ось  $z'$  — перпендикулярно плоскости ротора. Положение ротора и связанного с ним трехгранника  $x'y'z'$  относительно кольца зададим углом  $\beta$  поворота ротора вокруг оси  $x_1$  ( $x'$ ).

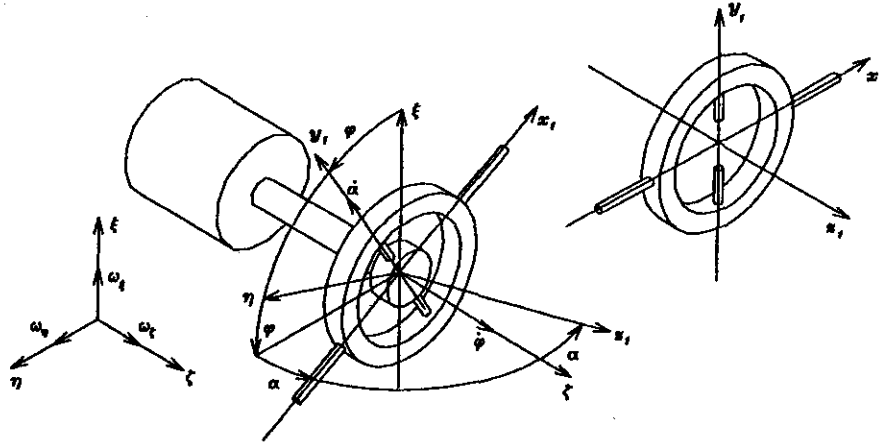


Рис. 1.2. К определению положения кольца

Таким образом, положение трехгранника  $x'y'z'$ , связанного с ротором, относительно опорного трехгранника  $\xi\eta\zeta$  определяется углами  $\varphi$ ,  $\alpha$ ,  $\beta$ , как это изображено на рис. 1.3. Удобство такого представления объясняется тем, что последовательные повороты кольца и ротора осуществляются в этом случае вокруг их естественных осей вращения, а именно вокруг оси вала двигателя, осей внутренних и наружных торсионов.

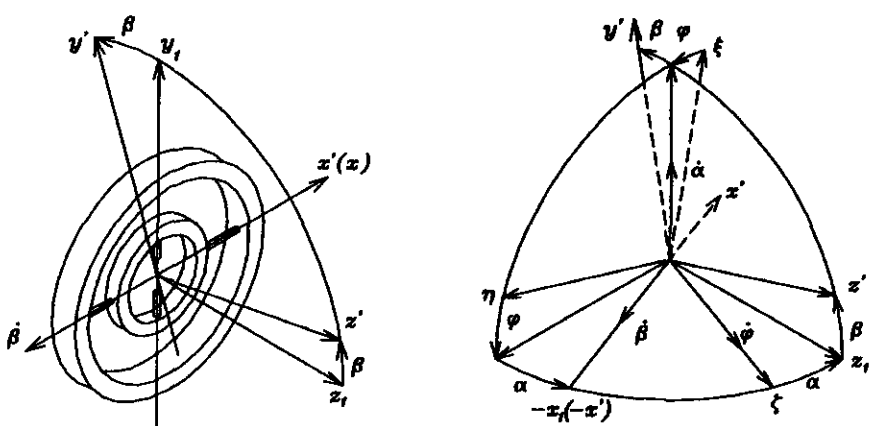


Рис. 1.3. К определению положения ротора

Однако при этом информация о положении вращающегося со скоростью  $\dot{\varphi}$  ротора гироскопа, заключенная в углах  $\alpha$  и  $\beta$ , выдается во вращающейся системе координат, что во многих случаях исследований движения ДНГ оказывается неудобным. Кроме того, измерение углов  $\alpha$  и  $\beta$  технически затруднено.

Поэтому для задания положения ротора ДНГ используется невращающаяся (астатическая) система координат  $xuz$  и другая последовательность поворотов ротора, обычно применяемая для задания положения трехстепенного гироскопа с невращающимся наружным кардановым подвесом. В этом случае положение ротора ДНГ относительно опорного трехгранника  $\xi\eta\zeta$  задается углами  $\alpha_1$ ,  $\beta_1$ ,  $\varphi_1$ , причем первый поворот осуществляется относительно оси  $\xi$  на угол  $\alpha_1$ , а последний — относительно оси  $z'$  симметрии ротора на угол  $\varphi_1$ , как это показано на рис. 1.4.

Получим соотношения между углами  $\alpha$ ,  $\beta$  и  $\alpha_1$ ,  $\beta_1$ . Для этого запишем выражение для вектора  $\bar{\Omega}$  угловой скорости движения ротора относительно трехгранника  $\xi\eta\zeta$  в виде геометрической суммы проекций на эти оси угловых скоростей  $\dot{\varphi}$ ,  $\dot{\alpha}$ ,  $\dot{\beta}$ , (см. рис. 1.3):

$$\bar{\Omega} = (\dot{\alpha} \cos \varphi - \dot{\beta} \cos \alpha \sin \varphi) \vec{i} + (\dot{\alpha} \sin \varphi + \dot{\beta} \cos \alpha \cos \varphi) \vec{j} + (\dot{\beta} \sin \alpha + \dot{\varphi}) \vec{k}. \quad (1.1)$$

Здесь  $\bar{i}$ ,  $\bar{j}$ ,  $\bar{k}$  — орты осей  $\xi$ ,  $\eta$ ,  $\zeta$ . Проецируя на эти оси угловые скорости  $\dot{\alpha}_1$ ,  $\dot{\beta}_1$ ,  $\dot{\phi}_1$  (см. рис. 1.4), аналогично получаем

$$\begin{aligned}\bar{\Omega} = & (\dot{\alpha}_1 + \dot{\phi}_1 \sin \beta_1) \bar{i} + (\dot{\beta}_1 \cos \alpha_1 - \dot{\phi}_1 \cos \beta_1 \sin \alpha_1) \bar{j} + \\ & + (\dot{\beta}_1 \sin \alpha_1 + \dot{\phi}_1 \cos \beta_1 \cos \alpha_1) \bar{k}.\end{aligned}\quad (1.2)$$

Приравнивая коэффициенты при ортах  $\bar{i}$ ,  $\bar{j}$ ,  $\bar{k}$  в выражениях (1.1) и (1.2), получаем

$$\begin{aligned}\dot{\alpha} \cos \varphi - \dot{\beta} \cos \alpha \sin \varphi &= \dot{\alpha}_1 + \dot{\phi}_1 \sin \beta_1; \\ \dot{\alpha} \sin \varphi + \dot{\beta} \cos \alpha \cos \varphi &= \dot{\beta}_1 \cos \alpha_1 - \dot{\phi}_1 \cos \beta_1 \sin \alpha_1; \\ \dot{\beta} \sin \alpha + \dot{\phi} &= \dot{\beta}_1 \sin \alpha_1 + \dot{\phi}_1 \cos \beta_1 \cos \alpha_1.\end{aligned}\quad (1.3)$$

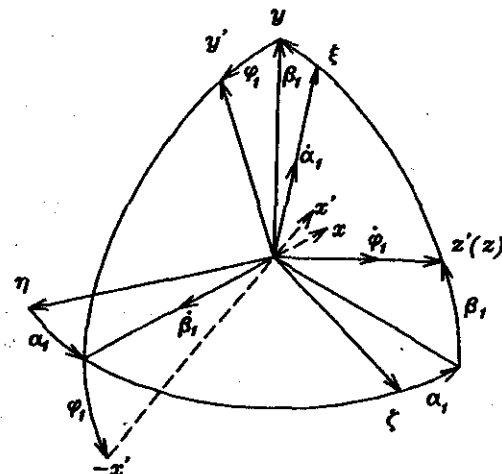


Рис. 1.4. К определению положения ротора

Погрешности ДНГ в значительной степени определяются значениями углов  $\alpha$ ,  $\beta$  (или  $\alpha_1$ ,  $\beta_1$ ). Поэтому ДНГ применяется только в устройствах, обеспечивающих малость указанных углов, например, в индикаторных гиростабилизаторах (ГС) или в ДУС. В этом случае можно принять, что

$$\begin{aligned}\sin \alpha &\approx \alpha, \quad \sin \beta \approx \beta, \quad \cos \alpha \approx 1, \quad \cos \beta \approx 1, \\ \sin \alpha_1 &\approx \alpha_1, \quad \sin \beta_1 \approx \beta_1, \quad \cos \alpha_1 \approx 1, \quad \cos \beta_1 \approx 1.\end{aligned}\quad (1.4)$$

С учетом (1.4) получаем из (1.3)

$$\begin{aligned}\dot{\alpha} \cos \varphi - \dot{\beta} \sin \varphi &= \dot{\alpha}_1 + \dot{\phi}_1 \beta_1, \\ \dot{\alpha} \sin \varphi + \dot{\beta} \cos \varphi &= \dot{\beta}_1 - \dot{\phi}_1 \alpha_1, \\ \dot{\beta} \alpha + \dot{\phi} &= \dot{\beta}_1 \alpha_1 + \dot{\phi}_1.\end{aligned}\quad (1.5)$$

Здесь  $\dot{\phi}$  — угловая скорость вращения вала двигателя — известна. Из третьего уравнения (1.5) получаем выражение для  $\dot{\phi}_1$ :

$$\dot{\phi}_1 = \dot{\phi} + \dot{\beta} \alpha - \dot{\beta}_1 \alpha_1. \quad (1.6)$$

Поскольку  $\dot{\phi}_1 \gg \dot{\beta}$ ,  $\dot{\phi}_1 \gg \dot{\beta}_1$ , а углы  $\alpha$  и  $\alpha_1$  — малые, можно считать, что

$$\dot{\phi}_1 \approx \dot{\phi}. \quad (1.7)$$

Тогда получаем из (1.5) окончательно

$$\begin{aligned}\dot{\alpha} &= \dot{\alpha}_1 \cos \varphi - \dot{\phi} \sin \varphi \alpha_1 + \dot{\beta}_1 \sin \varphi + \dot{\phi} \cos \varphi \beta_1; \\ \dot{\beta} &= -\dot{\alpha}_1 \sin \varphi - \dot{\phi} \cos \varphi \alpha_1 + \dot{\beta}_1 \cos \varphi - \dot{\phi} \cos \varphi \beta_1.\end{aligned}\quad (1.8)$$

Интегрируя и дифференцируя по времени выражения (1.8), получаем с точностью до постоянных интегрирования для  $\dot{\phi} = \text{const}$ :

$$\begin{aligned}\alpha &= \alpha_1 \cos \varphi + \beta_1 \sin \varphi; \\ \beta &= -\alpha_1 \sin \varphi + \beta_1 \cos \varphi;\end{aligned}\quad (1.9)$$

$$\begin{aligned}\ddot{\alpha} &= \ddot{\alpha}_1 \cos \varphi - 2\dot{\alpha}_1 \dot{\phi} \sin \varphi - \dot{\phi}^2 \alpha_1 \cos \varphi + \\ &+ \ddot{\beta}_1 \sin \varphi + 2\dot{\beta}_1 \dot{\phi} \cos \varphi - \dot{\phi}^2 \beta_1 \sin \varphi; \\ \ddot{\beta} &= -\ddot{\alpha}_1 \sin \varphi - 2\dot{\alpha}_1 \dot{\phi} \cos \varphi + \dot{\phi}^2 \alpha_1 \sin \varphi + \\ &+ \ddot{\beta}_1 \cos \varphi - 2\dot{\beta}_1 \dot{\phi} \sin \varphi - \dot{\phi}^2 \beta_1 \cos \varphi.\end{aligned}\quad (1.10)$$

## 1.2. Уравнения движения гироскопа

Уравнения движения составим для двух тел механической системы ДНГ — ротора и кольца — на основании динамических уравнений Эйлера. При этом уравнение вала двигателя предполагается известным:

$$\dot{\phi} = \text{const.}$$

Будем считать, что масса торсионов мала по сравнению с массой ротора и кольца, что дает основание принять торсионы безынерционными упругими элементами. Оси  $x'$ ,  $y'$ ,  $z'$ , связанные с ротором,  $x_1$ ,  $y_1$ ,  $z_1$ , связанные с кольцом, а также оси  $x$ ,  $y$ ,  $z$  считаем главными осями инерции, а центры масс кольца и ротора ДНГ — совпадающими с центром подвеса, куда помещены начала трехгранников  $\xi\eta\zeta$ ,  $x'y'z'$ ,  $x_1y_1z_1$ ,  $x_1y_1z_1$ .

### 1.2.1. Уравнения движения кольца

Составим уравнение движения кольца вокруг оси  $y_1$ , отнесенное к вращающемуся трехграннику  $x_1y_1z_1$ , с помощью необобщенных динамических уравнений Эйлера. Согласно [5] имеем

$$B_1 \dot{\Omega}_{y_1} - (C_1 - A_1) \Omega_{x_1} \Omega_{z_1} = M_{y_1}, \quad (1.11)$$

где  $A_1$ ,  $B_1$ ,  $C_1$  — осевые моменты инерции кольца относительно осей  $x_1$ ,  $y_1$ ,  $z_1$  соответственно;  $\Omega_{x_1}$ ,  $\Omega_{y_1}$ ,  $\Omega_{z_1}$  — проекции абсолютной угловой скорости  $\bar{\Omega}_1$  движения кольца на оси  $x_1$ ,  $y_1$ ,  $z_1$  соответственно;  $M_{y_1}$  — момент внешних сил, действующих на кольцо вокруг оси  $y_1$ , включая момент реакции  $M_{y_1}^R$  со стороны ротора, передаваемый через наружные торсионы.

Абсолютная угловая скорость  $\bar{\Omega}_1$  движения кольца составлена из переносной угловой скорости движения трехгранника  $\xi\eta\zeta$  —  $\bar{\omega}^{\text{пер}}$  и скорости движения кольца относительно опорного трехгранника, определяемой составляющими  $\dot{\phi}$  и  $\dot{\alpha}$ .

Если обозначить проекции угловой скорости  $\bar{\omega}^{\text{пер}}$  на оси  $x_1$ ,  $y_1$ ,  $z_1$ , связанные с кольцом, через  $\omega_{x_1}$ ,  $\omega_{y_1}$ ,  $\omega_{z_1}$  соответственно, то вы-

ражения для проекций  $\Omega_{x_1}$ ,  $\Omega_{y_1}$ ,  $\Omega_{z_1}$  абсолютной угловой скорости движения кольца будут иметь следующий вид (см. рис. 1.2):

$$\begin{aligned}\Omega_{x_1} &= -\dot{\phi} \sin \alpha + \omega_{x_1}; \\ \Omega_{y_1} &= \dot{\alpha} + \omega_{y_1}; \\ \Omega_{z_1} &= \dot{\phi} \cos \alpha + \omega_{z_1},\end{aligned}\quad (1.12)$$

или для малого  $\alpha$  и  $\dot{\phi} \gg \omega_{z_1}$

$$\begin{aligned}\Omega_{x_1} &\approx -\dot{\phi} \alpha + \omega_{x_1}; \\ \Omega_{y_1} &\approx \dot{\alpha} + \omega_{y_1}; \\ \Omega_{z_1} &\approx \dot{\phi}.\end{aligned}\quad (1.13)$$

Выражения для  $\omega_{x_1}$ ,  $\omega_{y_1}$  получаются проецированием угловой скорости  $\bar{\omega}^{\text{пер}}$  на оси  $x_1$ ,  $y_1$  согласно рис. 1.5:

$$\begin{aligned}\omega_{x_1} &= (\omega_\xi \sin \varphi - \omega_\eta \cos \varphi) \cos \alpha - \omega_\xi \sin \alpha = \\ &= \omega_\xi \sin \varphi \cos \alpha - \omega_\eta \cos \varphi \cos \alpha - \omega_\xi \sin \alpha; \\ \omega_{y_1} &= \omega_\xi \cos \varphi + \omega_\eta \sin \varphi,\end{aligned}\quad (1.14)$$

или для малого  $\alpha$

$$\begin{aligned}\omega_{x_1} &= \omega_\xi \sin \varphi - \omega_\eta \cos \varphi - \omega_\xi \alpha; \\ \omega_{y_1} &= \omega_\xi \cos \varphi + \omega_\eta \sin \varphi.\end{aligned}$$

Подставляя выражения (1.13) в уравнение (1.11), получаем

$$\begin{aligned}B_1 \ddot{\alpha} + (C_1 - A_1) \dot{\phi}^2 \alpha &= \\ &= -B_1 \dot{\omega}_{y_1} + \\ &+ (C_1 - A_1) \dot{\phi} \omega_{x_1} + M_{y_1}.\end{aligned}\quad (1.15)$$

Подставляя сюда выражение для  $\omega_{x_1}$  из (1.14) и учитывая, что на

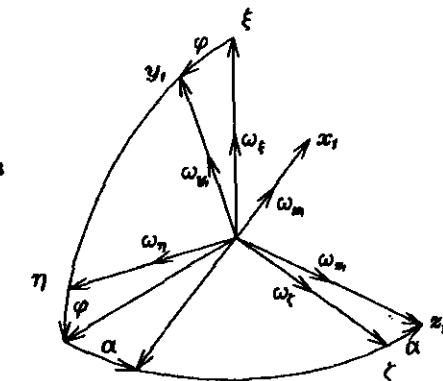


Рис. 1.5. К составлению уравнения движения кольца

$$\dot{\omega}_{y_1} = \dot{\omega}_\xi \cos \varphi - \omega_\xi \dot{\varphi} \sin \varphi + \dot{\omega}_\eta \sin \varphi + \omega_\eta \dot{\varphi} \cos \varphi,$$

находим

$$B_1 \ddot{\alpha} + (C_1 - A_1) \dot{\phi}^2 \alpha = -B_1 (\dot{\omega}_\xi \cos \varphi - \omega_\xi \dot{\varphi} \sin \varphi + \dot{\omega}_\eta \sin \varphi + \omega_\eta \dot{\varphi} \cos \varphi) + (C_1 - A_1) \dot{\phi} (\omega_\xi \sin \varphi - \omega_\eta \cos \varphi - \omega_\xi \alpha) + M_{y_1},$$

или

$$B_1 \ddot{\alpha} + (C_1 - A_1) \dot{\phi} (\dot{\phi} + \omega_\xi) \alpha = -B_1 (\dot{\omega}_\xi \cos \varphi + \dot{\omega}_\eta \sin \varphi) + (B_1 + C_1 - A_1) \dot{\phi} \omega_\xi \sin \varphi - (B_1 + C_1 - A_1) \dot{\phi} \omega_\eta \cos \varphi + M_{y_1}. \quad (1.16)$$

Здесь  $M_{y_1}$  — внешний момент, действующий на кольцо вокруг оси  $y_1$  внутренних торсионов. Он состоит из демпфирующего момента  $M_{y_1}^d$ , упругого момента  $M_{y_1}^t$  внутренних торсионов и момента  $M_{y_1}^R$  воздействия на кольцо со стороны ротора, передаваемого через наружные торсионы, жесткость которого вокруг оси  $y_1$  может быть принята бесконечной. Таким образом,

$$M_{y_1} = M_{y_1}^d + M_{y_1}^t + M_{y_1}^R, \quad (1.17)$$

$$M_{y_1}^d = -D_\alpha \dot{\alpha}, \quad (1.18)$$

где  $D_\alpha$  — коэффициент демпфирования;

$$M_{y_1}^t = -k_\alpha \alpha, \quad (1.19)$$

где  $k_\alpha$  — жесткость внутренних торсионов.

Подставляя в (1.16) выражения (1.17), (1.18), (1.19) и пренебрегая  $\omega_\zeta$  по отношению к  $\dot{\phi}$ , получаем окончательно

$$B_1 \ddot{\alpha} + D_\alpha \dot{\alpha} + [k_\alpha + (C_1 + A_1) \dot{\phi}^2] \alpha = -B_1 (\dot{\omega}_\xi \cos \varphi + \dot{\omega}_\eta \sin \varphi) + (B_1 + C_1 - A_1) \dot{\phi} \omega_\xi \sin \varphi - (B_1 + C_1 - A_1) \dot{\phi} \omega_\eta \cos \varphi + M_{y_1}^R. \quad (1.20)$$

### 1.2.2. Уравнения движения ротора

Составим уравнения движения ротора вокруг осей  $x$  и  $y$ , отнесенные к системе координат  $x y z$ , с помощью обобщенных уравнений Эйлера [5]. Напомним, что трехгранник  $x y z$  участвует во всех движениях ротора, кроме вращения с угловой скоростью  $\dot{\phi}_1$ :

$$\begin{aligned} \frac{d\Theta_x}{dx} + \Theta_z \omega_y - \Theta_y \omega_z &= M_x; \\ \frac{d\Theta_y}{dx} + \Theta_x \omega_z - \Theta_z \omega_x &= M_y. \end{aligned} \quad (1.21)$$

Здесь  $\Theta_x, \Theta_y, \Theta_z$  — проекции полного вектора  $\bar{\Theta}$  момента количества движения ротора на оси  $x, y, z$ ;  $\omega_x, \omega_y, \omega_z$  — проекции абсолютной угловой скорости трехгранника  $x y z$  на его оси;  $M_x, M_y$  — внешние моменты, действующие на ротор вокруг осей  $x$  и  $y$ .

Выражения для  $\omega_x, \omega_y, \omega_z$  получаем, суммируя проекции на оси  $x, y, z$ , вектора  $\bar{\omega}$  переносной угловой скорости опорного трехгранника  $\xi \eta \zeta$ , а также угловые скорости  $\dot{\alpha}_1$  и  $\dot{\beta}_1$  относительно движения трехгранника  $x y z$  (рис. 1.6):

$$\begin{aligned} \omega_x &= -\dot{\beta}_1 - \omega_\eta \cos \alpha_1 - \omega_\zeta \sin \alpha_1; \\ \omega_y &= \dot{\alpha}_1 \cos \beta_1 + \omega_\xi \cos \beta_1 - (\omega_\zeta \cos \alpha_1 - \omega_\eta \sin \alpha_1) \sin \beta_1; \\ \omega_z &= \dot{\alpha}_1 \sin \beta_1 + (\omega_\zeta \cos \alpha_1 - \omega_\eta \sin \alpha_1) \cos \beta_1. \end{aligned} \quad (1.22)$$

Учитывая, что в ДНГ углы  $\alpha_1$  и  $\beta_1$  очень малы, на основании (1.4) получаем

$$\begin{aligned} \omega_x &= -\dot{\beta}_1 - \omega_\eta - \omega_\zeta \alpha_1; \\ \omega_y &= \dot{\alpha}_1 + \omega_\xi - (\omega_\zeta - \omega_\eta \alpha_1) \beta_1; \\ \omega_z &= \dot{\alpha}_1 \beta_1 + (\omega_\zeta - \omega_\eta \alpha_1). \end{aligned} \quad (1.23)$$

Пренебрегая слагаемыми, в которые сомножителями входят малые углы  $\alpha_1$  и  $\beta_1$ , находим окончательно

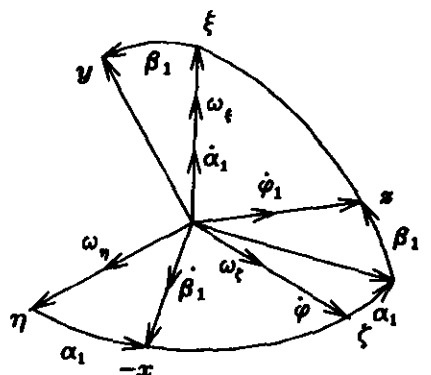


Рис. 1.6. К составлению уравнений движения ротора

Тогда с учетом (1.24)

$$\begin{aligned}\Omega_x &= \omega_x = -\dot{\beta}_1 - \omega_\eta; \\ \Omega_y &= \omega_y = \dot{\alpha}_1 + \omega_\xi; \\ \Omega_z &= \omega_z + \dot{\phi}_1 \cong \dot{\phi}_1 \cong \dot{\phi}.\end{aligned}\quad (1.26)$$

В последнем выражении учтено, что

$$\dot{\phi}_1 > \omega_z.$$

Выражения для проекций  $\Theta_x$ ,  $\Theta_y$ ,  $\Theta_z$  полного момента количества движения ротора имеют вид

$$\begin{aligned}\Theta_x &= A\Omega_x = -A(\dot{\beta}_1 + \omega_\eta); \\ \Theta_y &= A\Omega_y = A(\dot{\alpha}_1 + \omega_\xi); \\ \Theta_z &= C\Omega_z = C\dot{\phi},\end{aligned}\quad (1.27)$$

где  $A$  и  $C$  — осевые моменты инерции ротора относительно осей  $x$ ,  $y$  и  $z$ .

Подставим выражения (1.24), (1.27) в уравнения (1.21):

$$\begin{aligned}-A(\ddot{\beta}_1 + \dot{\omega}_\eta) + C\dot{\phi}(\dot{\alpha}_1 + \omega_\xi) - A(\dot{\alpha}_1 + \omega_\xi)\omega_\zeta &= M_x, \\ A(\ddot{\alpha}_1 + \dot{\omega}_\xi) - A(\dot{\beta}_1 + \omega_\eta)\omega_\zeta + C\dot{\phi}(\dot{\beta}_1 + \omega_\eta) &= M_y.\end{aligned}$$

$$\begin{aligned}\omega_x &= -\dot{\beta}_1 - \omega_\eta; \\ \omega_y &= \dot{\alpha}_1 + \omega_\xi; \\ \omega_z &= \omega_\zeta.\end{aligned}\quad (1.24)$$

Выражения для проекций  $\Omega_x$ ,  $\Omega_y$ ,  $\Omega_z$  абсолютной угловой скорости ротора  $\bar{\Omega}$  получим, проецируя на оси  $x$   $y$   $z$  векторное равенство

$$\bar{\Omega} = \bar{\omega} + \bar{\phi}_1. \quad (1.25)$$

Пренебрегая малыми центробежными моментами, зависящими от произведения малых угловых скоростей  $\dot{\alpha}_1$ ,  $\dot{\beta}_1$ ,  $\omega_\xi$ ,  $\omega_\eta$ , получаем

$$\begin{aligned}A(\ddot{\beta}_1 + \dot{\omega}_\eta) - C\dot{\phi}(\dot{\alpha}_1 + \omega_\xi) &= -M_x; \\ A(\ddot{\alpha}_1 + \dot{\omega}_\xi) + C\dot{\phi}(\dot{\beta}_1 + \omega_\eta) &= M_y.\end{aligned}\quad (1.28)$$

Далее определим состав внешних моментов. Со стороны наружных тросиков на ротор действует момент  $M_x^T$ , направленный по оси  $x'$ :

$$M_{x'}^T = k_\beta \beta + D_\beta \dot{\beta}, \quad (1.29)$$

где  $k_\beta$  — жесткость наружных тросиков;  $D_\beta$  — коэффициент демпфирования.

Со стороны кольца на ротор действует момент реакции  $-M_{y_1}^R$ , передаваемый на ротор через наружные тросики и действующий вокруг оси  $y_1$ . Этот момент равен по величине и направлен противоположно моменту  $M_{y_1}^R$ , определенному из уравнения движения кольца (1.20). Разложим этот момент на составляющие, действующие вокруг осей  $y'$  и  $z'$  (рис. 1.7):

$$\begin{aligned}-M_{y'}^R &= -M_{y_1}^R \cos \beta \cong -M_{y_1}^R, \\ -M_{z'}^R &= -M_{y_1}^R \sin \beta \cong -M_{y_1}^R \beta.\end{aligned}\quad (1.30)$$

Момент  $M^A$ , развиваемый двигателем (за исключением моментов трения шарикоподшипников), действует вокруг оси вращения вала  $\zeta$  и через внутренние тросики передается на кольцо. Разложим этот момент на составляющие, направленные по осям  $\eta$  и  $z_1$  (рис. 1.8):

$$\begin{aligned}M_\eta^A &= M^A \operatorname{tga} \alpha \cong M^A \alpha, \\ M_{z_1}^A &= M^A \frac{1}{\operatorname{cosa}} \cong M^A.\end{aligned}\quad (1.31)$$